

А. Б. Деянов, М. Е. Коньшин, З. Н. Семенова

### ИССЛЕДОВАНИЕ НАФТИРИДИНОВ

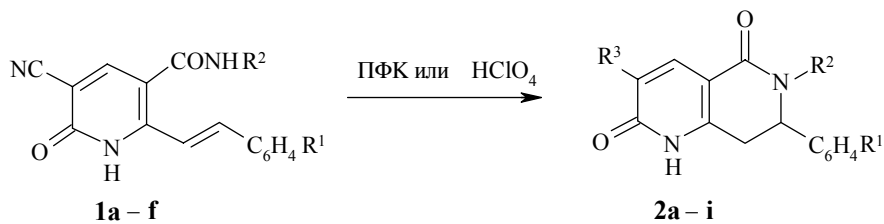
#### 16\*. СИНТЕЗ ПРОИЗВОДНЫХ 2,5-ДИОКСО-1,2,5,6,7,8-ГЕКСАГИДРО-1,6-НАФТИРИДИН-3-КАРБОНОВЫХ КИСЛОТ НА ОСНОВЕ АНИЛИДОВ (ГИДРАЗИДОВ) 6-ОКСО-2-СТИРИЛНИКОТИНОВЫХ КИСЛОТ

При нагревании анилидов (гидразидов) 6-оксо-2-стирил-5-цианоникотиновых кислот в ПФК образуются амиды 7-арил-2,5-диоксо-6-фенил(амино)-1,2,5,6,7,8-гексагидро-1,6-нафтиридин-3-карбоновых кислот, а при нагревании с хлорной кислотой в растворе уксусной кислоты – соответствующие кислоты.

**Ключевые слова:** анилиды, гидразиды, 2,5-диоксо-1,2,5,6,7,8-гексагидро-1,6-нафтиридины, 6-оксо-2-стирилникотиновые кислоты, циклизация.

Амиды 2-стирилникотиновой кислоты при нагревании в ПФК циклизуются в производные 5-оксо-5,6,7,8-тетрагидро-1,6-нафтиридина [2]. Цель данной работы – расширение границ этой реакции и получение новых производных 1,6-нафтиридина на основе анилидов и гидразидов 6-оксо-2-стирил-5-цианоникотиновой кислоты.

Исследования показали, что замыкание цикла в соединениях **1a–d** проходит при их нагревании в ПФК при 165 °C в течение 3 ч. При этом образуются амиды 7-арил-2,5-диоксо-6-фенил(амино)-1,2,5,6,7,8-гексагидро-1,6-нафтиридин-3-карбоновых кислот **2a–d** (таблица).



**1, 2 a** R<sup>1</sup> = 4-Me<sub>2</sub>N, R<sup>2</sup> = Ph; **b** R<sup>1</sup> = 3-Br, R<sup>2</sup> = Ph; **c** R<sup>1</sup> = 4-Me<sub>2</sub>N, R<sup>2</sup> = NH<sub>2</sub>; **d** R<sup>1</sup> = 3-Br, R<sup>2</sup> = NH<sub>2</sub>; **e** R<sup>1</sup> = 4-MeO, R<sup>2</sup> = Ph; **f** R<sup>1</sup> = 4-Br, R<sup>2</sup> = NH<sub>2</sub>; **g** R<sup>1</sup> = 4-Me<sub>2</sub>N, R<sup>2</sup> = Ph; **h** R<sup>1</sup> = 4-Me<sub>2</sub>N, R<sup>2</sup> = NH<sub>2</sub>; **i** R<sup>1</sup> = 4-Br, R<sup>2</sup> = NH<sub>2</sub>; **a–d** R<sup>3</sup> = CONH<sub>2</sub>, **e–i** R<sup>3</sup> = COOH

\* Сообщение 15 см. [1].

ИК спектры нафтиридинов **2a–d**, в отличие от спектров соединений

**1a–d** [3], не содержат полосы поглощения нитрильной группы, но имеют полосы поглощения при 1668–1676 см<sup>-1</sup> (C=O амида), а также полосы валентных колебаний амидной группы N–H при 3462–3480 см<sup>-1</sup>. В спектрах ЯМР <sup>1</sup>H соединений **2**, в отличие от спектров исходных анилидов и гидразидов **1**, появляются сигналы протонов при 7.19–7.67 (2H, уш. с, CONH<sub>2</sub>), 3.32–3.48 (2H, д, CH<sub>2</sub>) и 5.37–5.52 м. д. (1H, т, CH).

В масс-спектре соединения **2a** молекулярный ион 402\* [M]<sup>+</sup>\* отщепляет молекулу воды и превращается в ион 384 [M–H<sub>2</sub>O]<sup>+</sup>\*. Дальнейшая фрагментация этого иона связана либо с потерей молекулы HCN, что характерно для нитрилов [4], либо с отщеплением фенилнитрена. Отщепление молекулы HCN приводит к образованию устойчивого иона 357, интенсивность пика которого составляет 100%, что, вероятно, определяется рассредоточением положительного заряда внутри образовавшегося ароматического цикла пиридина. Фрагментация иона 357 протекает по трем направлениям (отщепление O<sup>·</sup>, CO<sup>·</sup> и CH<sub>2</sub>=N–Me) с образованием ионов 341, 329 и 314 соответственно. Последний элиминирует либо фенил и дает ион 237, либо фенилнитрен и образует ион 223. При отщеплении от иона 384 [M–H<sub>2</sub>O]<sup>+</sup>\* фенилнитрена образуется ион 293, который последовательно элиминирует цианистый водород и фрагмент диметиламина с возникновением устойчивых ионов 266 и 223.

Далее было установлено, что 7-арил-2-оксо-1,2,5,6,7,8-тетрагидро-6-фенил(амино)-1,6-нафтиридин-3-карбоновые кислоты **2e–i** образуются при нагревании раствора стильбазолов **1a–c,e,f** в ледяной уксусной кислоте в присутствии хлорной кислоты.

Спектры ЯМР <sup>1</sup>H нафтиридинов **2e–i** отличаются от спектров соединений **1a–c,e,f** [3] отсутствием уширенного синглета группы NH<sub>2</sub> при 7.19–7.67 м. д. и наличием синглета протона карбоксильной группы в области 8.68–9.31 м. д., а ИК спектры – наличием полос при 1704–1744 (C=O карбоксильной группы) и при 3555–3580 см<sup>-1</sup> (O–H).

Изучена антимикробная активность соединений **2c–h,i** в отношении золотистого стафилококка и кишечной палочки. Определялась минимальная ингибирующая концентрация (МИК) по методу серийных разведений [5]. В качестве эталона сравнения использовался лактат этакридина, который задерживает рост как золотистого стафилококка, так и кишечной палочки при *c* = 500 мкг/мл. Исследования показали, что большинство соединений по активности в отношении золотистого стафилококка не уступают эталону сравнения, а соединение **2g** действует в 4 раза сильнее.

---

\* Здесь и далее для пиков ионов даны значения *m/z*.

**Характеристики соединений 2a–i**

Соеди- нение	Брутто- формула	<u>Найдено, %</u> Вычислено, %				Т. пл., °C	Выход, %	Антимикробная активность, МИК, мкг/мл		
		C	H	Br	N			St. aureus	E. coli	
<b>2a</b>	<chem>C23H22N4O3</chem>	<u>68.64</u> 68.71	<u>5.51</u> 5.33	—	<u>13.92</u> 14.20	262–263	41			
<b>2b</b>	<chem>C21H16BrN3O3</chem>	<u>57.58</u> 57.79	<u>3.68</u> 3.39	<u>18.24</u> 18.52	<u>9.59</u> 9.76	216–218	44			
<b>2c</b>	<chem>C17H19N5O3</chem>	<u>59.81</u> 60.04	<u>5.61</u> 5.49	—	<u>20.52</u> 20.50	213–215	42	500	1000	
<b>2d</b>	<chem>C15H13BrN4O3</chem>	<u>47.76</u> 48.00	<u>3.47</u> 3.27	<u>21.18</u> 20.90	<u>14.85</u> 14.63	259–262	37			
<b>2e</b>	<chem>C22H18N2O5</chem>	<u>67.69</u> 67.40	<u>4.65</u> 4.92	—	<u>7.18</u> 6.87	276–278	41	500	500	
<b>2f</b>	<chem>C23H21N3O4</chem>	<u>68.47</u> 68.76	<u>5.25</u> 5.33	—	<u>10.42</u> 10.66	268–270	34	500	500	
<b>2g</b>	<chem>C21H15BrN2O4</chem>	<u>57.40</u> 57.67	<u>3.44</u> 3.28	<u>18.19</u> 18.25	<u>6.38</u> 6.50	240–242	48	125	500	
<b>2h</b>	<chem>C17H18N4O4</chem>	<u>59.64</u> 59.76	<u>5.30</u> 5.01	—	<u>16.36</u> 16.49	238–241	62	1000	1000	
<b>2i</b>	<chem>C15H12BrN3O4</chem>	<u>47.64</u> 47.67	<u>3.20</u> 2.95	<u>21.13</u> 21.39	<u>10.11</u> 10.84	201–204	69	500	1000	

## ЭКСПЕРИМЕНТАЛЬНАЯ ЧАСТЬ

ИК спектры получены на приборе UR-20 в  $\text{CCl}_4$ ,  $c = 0.05$  моль/л (соединение **2e**) и в вазелиновом масле (остальные соединения). Спектры ЯМР  $^1\text{H}$  зарегистрированы на спектрометре PC-60 (60 МГц) в  $\text{DMSO-d}_6$ , внутренний стандарт ГМДС ( $\delta$  0.05 м. д.). Масс-спектры получены на приборе MX-1303 с прямым вводом образца в источник ионов, ионизирующее напряжение 70 эВ, эталон сравнения  $^{200}\text{Hg}$ .

**Амиды 6-амино(фенил)-7-арил-2,5-диоксо-1,2,5,6,7,8-гексагидро-1,6-нафтиридин-3-карбоновых кислот 2a–d.** Нагревают 0.01 моль соответствующего соединения **1a–d** с 10 мл ПФК 3 ч при 165 °C. Выливают в 100 мл воды, нейтрализуют раствором аммиака. Осадок отфильтровывают и кристаллизуют из диоксана (соединение **2a**) или водного этанола (соединения **2b–d**). ИК спектр,  $\nu$ , см $^{-1}$ : 3366–3396, 3172–3194 ( $\text{CONH}_2$ ), 3360–3480 (N–H), 1668–1684 ( $\text{C}_{(3)}=\text{O}$ ), 1656–1672 ( $\text{C}_{(2)}=\text{O}$ ), 1632–1664 ( $\text{C}_{(5)}=\text{O}$ ); соединения **2c,d** – 3272–3280, 3208 (NH<sub>2</sub>). Спектр ЯМР  $^1\text{H}$ ,  $\delta$ , м. д.: 8.43–8.78 (1H, с, H-4); 7.25–7.65 (1H, с, NH); 7.19–7.67 (2H, с,  $\text{CONH}_2$ ); 5.08–5.37 (1H, т, H-7); 3.32–3.50 (2H, д, H-8); соединения **2a,b** – 6.96–7.42 (9H, м, аром.); соединения **2c,d** – 6.68–7.00 (4H, м,  $\text{C}_6\text{H}_4$ ); 3.77–4.18 (2H, с, NH<sub>2</sub>). Масс-спектр соединения **2a**,  $m/z$  ( $I_{\text{отн.}}$ , %): 402 [M] $^{+•}$  (97), 384 (26), 357 (100), 341 (12), 329 (25), 314 (19), 293 (67), 266 (98), 237 (52), 223 (99), 183 (25), 146 (26), 134 (66).

**6-Амино(фенил)-7-арил-2,5-диоксо-1,2,5,6,7,8-гексагидро-1,6-нафтиридин-3-карбоновые кислоты 2e–i.** К 30 мл свежеприготовленного раствора хлорной кислоты в ледяной уксусной кислоте с небольшим количеством уксусного ангидрида (содержание хлорной кислоты 10–12%) прибавляют 0.01 моль соответствующего соединения **1a–c,e,f** нагревают при ~100 °C в течение 2 ч, выливают в 150 мл воды, нейтрализуют раствором гидрокарбоната натрия. Осадок отфильтровывают и кристаллизуют из водного ДМФА. ИК спектр,  $\nu$ , см $^{-1}$ : 3530–3589 ( $\text{COOH}$ ), 3372–3452 (N–H), 1704–1744 ( $\text{C}_{(3)}=\text{O}$ ), 1642–1682 ( $\text{C}_{(2)}=\text{O}$ ), 1620–1668 ( $\text{C}_{(5)}=\text{O}$ ), соединения **2h,i** – 3280–3288, 3206–3212 (NH<sub>2</sub>). Спектр ЯМР  $^1\text{H}$ ,  $\delta$ , м. д.: 8.68–9.31 (1H, с, COOH); 8.46–8.78 (1H, с, H-4); 7.07–7.65 (1H, с, NH); 5.05–5.55 (1H, т, H-7); 3.24–3.76 (2H, д, 2H-8); соединения **2e–g** – 6.87–7.48 (9H, м, аром.); соединения **2h,i** – 6.68–6.97 (4H, м,  $\text{C}_6\text{H}_4$ ); 4.01–4.39 (2H, с, NH<sub>2</sub>).

## СПИСОК ЛИТЕРАТУРЫ

1. С. В. Ухов, М. Е. Коньшин, *ХТС*, 92 (1992).
2. В. И. Сигрова, М. Е. Коньшин, *ХТС*, 783 (1984).
3. А. Б. Деянов, М. Е. Коньшин, *ХГС*, 547 (2004).
4. П. Б. Терентьев, А. П. Станкевичус. *Масс-спектрометрический анализ биологически активных азотистых оснований*, Мокслас, Вильнюс, 1987.
5. Г. Б. Першин, *Методы экспериментальной химиотерапии*, Медицина, Москва, 1959, с. 109, 456.

Пермская государственная  
фармацевтическая академия,  
Пермь 614600, Россия  
e-mail: pfa@degacom.ru

Поступило в редакцию 18.04.2002